

# PSCAD/EMTDC를 이용한 풍력발전기(DFIG) 모델링에 관한 연구

손준호<sup>1</sup>, 노대석<sup>1</sup>, 김찬혁<sup>2</sup>, 왕용필<sup>2</sup>  
<sup>1</sup>한국기술교육대학교, <sup>2</sup>한국전기산업연구원  
 e-mail: dsrho@kut.ac.kr

## A Study on the Wind Power Generator(DFIG) Modeling Using the PSCAD/EMTDC

Joonho Son<sup>1</sup>, Daeseok Rho<sup>1</sup>, Chanhyeok Kim<sup>2</sup>, Yongpeel Wang<sup>2</sup>  
<sup>1</sup>Korea University of Technology and Education, <sup>2</sup>ERIK

### 요 약

최근 정부의 녹색성장(Green Growth) 정책으로 대규모의 풍력발전소 단지가 배전계통에 적극적으로 도입, 운용되고 있다. 풍력발전기의 대표적인 타입 중에 DFIG(Doubly-Fed Induction Generation)는 MSC와 GSC라는 2가지 요소로 구성된다. MSC(Machine-Side Converter)는 발전량을 이용하여 발전기의 토크 또는 회전속도를 제어하며, 발전기에 여자 전류를 공급함으로써 고정자에서 유입되는 무효전력 제어를 담당한다. 그리고 GSC(Grid-Side Converter)는 전력변환 장치의 직류단 전압을 제어하고, GSC와 배전계통 사이의 무효전력도 제어한다. 본 논문에서는 상기의 이론을 바탕으로 PSCAD/EMTDC를 이용한 DFIG 모델링을 수행하여, 다양한 Simulation으로 모델링의 유효성을 확인하였다.

### 1. 서 론

정부의 녹색성장 정책에 의하면 2030년까지 전체 에너지전원 중 신재생에너지의 비중은 전체 에너지원의 7.6%를 차지할 전망이다. 그리고 2008년도 지식경제부의 신재생에너지전원 중 풍력의 보급전망은 2020년 37%, 2030년 42%이다. 현재 풍력은 배전계통에 전용선로에 주로 연계되어 실 계통에 미치는 영향은 미미하지만, 향후 대규모의 풍력발전이 일반 배전선로에 확대 운용되면 전압품질 및 보호협조에 많은 문제를 야기할 수 있다. 따라서 본 논문에서는 풍력발전이 배전계통에 연계 시, 수용가에 미치는 영향과, 배전계통의 외란이 풍력발전에 미치는 영향을 분석하기 위해서 상용 소프트웨어인 PSCAD/EMTDC를 이용하여 DFIG를 모델링하였으며 시뮬레이션을 통하여 모델링의 유효성을 확인하였다.

### 2. DFIG 제어 이론

#### 2.1 풍력에너지

풍력에너지는 임의의 단면적을 통과하는 공기의 운동에너지로 3가지 요소에 영향을 받는다. 첫째는 공기의 밀도로 단위체적당 질량에 의존한다. 둘째

는 회전자의 면적이며 풍력터빈이 바람으로부터 얼마나 많은 에너지를 획득할 수 있는지 결정된다. 회전자의 면적은 회전자 직경의 제곱에 따라 증가하기 때문에 터빈의 직경이 2배 증가하면 풍력에너지는 4배를 더 획득할 수 있다. 셋째는 바람의 속도로 풍력 터빈이 전기를 변환할 수 있는 에너지의 양에 관련되기 때문에 중요한 요소이며, 바람이 가지고 있는 에너지는 평균 바람속도의 3승에 따라 비례한다. 즉 바람의 속도가 2배 증가하면 에너지의 양은 8배 증가한다. 위의 내용을 이용하여 원의 단면적을 수직으로 통과하는 바람의 동력은 식 (1)과 같이 나타낼 수 있다.

$$P_m = \frac{1}{2} \rho V^3 \pi r^2 c_p \quad (1)$$

여기서, P : 바람의 동력[W],  $\rho$  : 공기의 밀도 1.225 [kg/m<sup>3</sup>](해표면에서 대기압, 15°C), V : 바람의 속도[m/s], r : 회전자의 반경[m],  $c_p$  : 풍력발전기의 출력계수[%]

#### 2.2 DFIG의 유도 발전기

MSC(Machine-Side Converter)측면에서는 발전량 및 무효전력제어, 그리고 GSC(Grid-Side

Converter)측면에서는 직류단 전압 및 무효전력제어를 위해, 발전기의 3상 고정자 및 회전자 의 등가 모델링 후, 전압 및 전류의 d-q좌표변환이 요구된다. DFIG의 유도발전기 모델링에 관한 식을 정리하면 다음과 같다.

$$T_{es} = \frac{3}{2} \frac{P}{2} \frac{L_m}{L_s} (\lambda_{ds} i_{qs} - \lambda_{qs} i_{ds}) \quad (2)$$

$$T_{er} = \frac{3}{2} \frac{P}{2} \frac{L_m}{L_r} (\lambda_{qr} i_{dr} - \lambda_{dr} i_{qr}) \quad (3)$$

$$P_s = \frac{3}{2} (V_{ds} i_{ds} - V_{qs} i_{qs}) \quad (4)$$

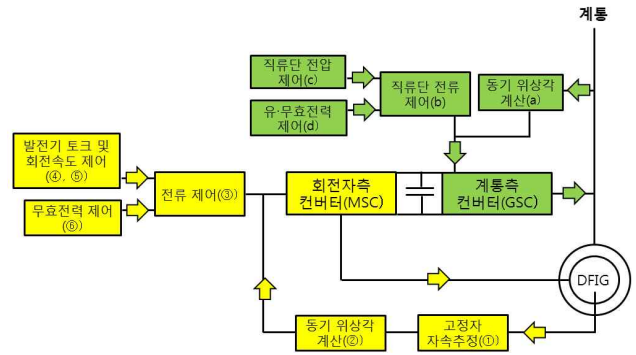
$$Q_s = \frac{3}{2} (V_{qs} i_{ds} - V_{ds} i_{qs}) \quad (5)$$

여기서,  $T_{es}$  : 유도기의 고정자 토크[Nm],  $T_{er}$  : 유도기의 회전자 토크[Nm],  $P$  : 유도기의 극수,  $P_s$  : 유도기의 고정자 유효전력[W],  $Q_s$  : 유도기의 고정자 무효전력[VAR],  $L_s$  : 고정자권선의 자기 인덕턴스[H],  $L_r$  : 회전자권선의 자기 인덕턴스[H],  $L_m$  : 고정자와 회전자 권선 사이의 상호인덕턴스[H],  $\lambda_{ds}, \lambda_{qs}$  : 고정자의 d-q축 자속[Wb],  $\lambda_{dr}, \lambda_{qr}$  : 회전자의 d-q축 자속[Wb],  $i_{ds}, i_{ds}$  : 고정자의 d-q축 전류[A],  $i_{dr}, i_{dr}$  : 회전자의 d-q축 전류[A],  $V_{dr}, V_{qr}$  : 회전자의 d-q축 전압[V],  $V_{ds}, V_{qs}$  : 고정자의 d-q축 전압[V]

식 (2)는 고정자 토크에 관한 식으로 DFIG의 MSC 제어에 사용되며, 식 (3)은 회전자 토크에 관한 식으로 DFIG의 GSC 제어를 위해 사용된다. 회전자에서 d-q축으로 변환된 유효전력은 동일한 좌표축 변수끼리의 곱에 비례한다. 즉 고정자의 유효전력을 계산하면 식 (4)와 같다. 또한 무효전력은 다른 좌표축 변수의 곱에 비례하며 고정자의 무효전력은 식 (5)와 같다.

### 2.3 MSC 제어

DFIG의 전체적인 제어 블록도를 나타내면 그림 1과 같다. 먼저 MSC는 그림 1의 하단부와 같이 총 6개의 요소로 구성된다. 즉, 고정자 자속 추정(①)과 동기 위상각계산(②), 전류제어기(③)의 발전량 제어, 발전기의 토크(④), 회전속도(⑤) 제어, 발전기 여자전류공급에 따른 무효전력 제어(⑥)로 구성된다.



[그림 1] DFIG의 제어 블록도

### 2.4 GSC 제어

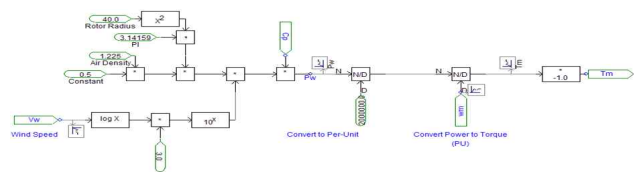
한편 GSC는 그림 1의 상단부와 같이 총 4가지 요소로 구성된다. 계통 전압의 위상각을 계산(a)하고 전류제어(b)를 하며, 직류단 전압 제어(c)와 무효전력을 제어(d)로 구성된다.

## 3. PSCAD/EMTDC를 이용한 DFIG 모델링

PSCAD/EMTDC를 이용하여 1[MW]의 DFIG를 풍력에너지, MSC, GSC순으로 모델링을 수행하였다.

### 3.1 풍력에너지 모델링

풍력에너지는 상기의 식 (1)을 이용하여 그림 2와 같이 설계하였다. 회전자 반경은 40[m], 공기밀도는 1.225[kg/m<sup>3</sup>], 바람의 속도는 11.5[m/s],  $c_p$ 는 0.28로이다.  $P_m$ 는 토크와 회전각속도의 곱으로 나타낼 수 있으며, 유도발전기 입력인 토크로 변환해야한다. 실제 환산 시 토크는 0.62189[pu]이다.



[그림 2] 풍력에너지

### 3.2 MSC 모델링

#### (1) 고정자 자속 추정

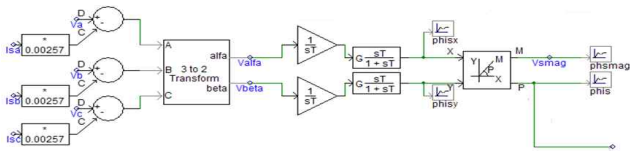
고정자 자속 추정은 그림 1의 ①이며, 식 (7)과 (8)을 이용하여 그림 3과 같이 구현하였다. 먼저 3상 고정자전압에서 발생하는 전압 강하분을 제거 후 d-q 정좌표 변환한다. 그리고 2상의 교류 전압으로 변환된 값을 적분한 후에 Washout filter를 이용하여 적분된 자속의 DC성분을 제거한다. DC성분이

제거된 2상의 교류전압을 극좌표변환을 통하여 기준삼각파를 얻음으로써 MSC 고정자 자속의 현재 위치를 알 수 있다.

$$\lambda_{ds}^s = \int [V_{ds}^s - r_s i_{ds}^s] dt \quad (7)$$

$$\lambda_{qs}^s = \int [V_{qs}^s - r_s i_{qs}^s] dt \quad (8)$$

여기서,  $r_s$ : 고정자 권선 저항[Ω]

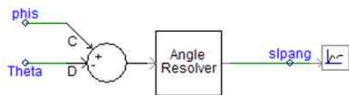


[그림 3] 고정자 자속 추정

(2) 동기 위상각 계산

그림 1의 ②에 해당되며, 식 (9)를 이용하여 그림 4로 구현하였다. 즉 고정자 자속과 회전자 전류에 의한 회전자 위치의 차이를 각도로 변환하였으며, 이는 MSC의 기준 삼각파이며 항상 동일한 위상을 얻을 수 있다.

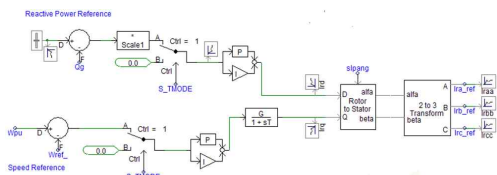
$$\lambda_{qs}^s = [L_r - \frac{L_m^2}{L_s}] i_{qr}^e \quad (9)$$



[그림 4] 동기 위상각 계산

(3) MSC의 속도/무효전력 제어

MSC의 속도 및 무효전력은 그림 1의 ⑤, ⑥이며 아래와 같이 구성하였다. PI제어 및 직류값을 3상 역변환 후, 3상 교류정현파가 출력된다.

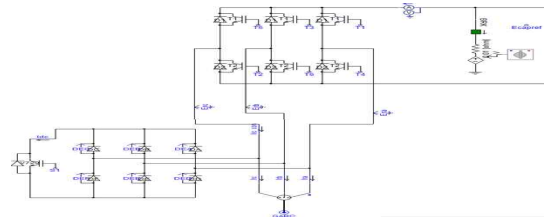


[그림 5] MSC의 속도/무효전력 제어

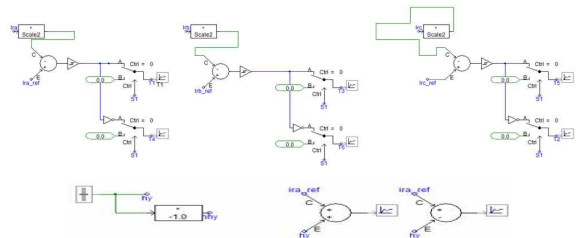
(4) MSC 회로

그림 6의 상단에는 CR-PWM을 기준으로 한 MSC가 있으며, 하단에는 Crowbar로 MSC의 과전류로

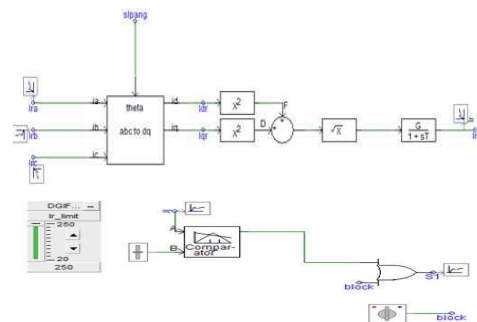
부터 보호한다. 회전자 전류를 기준전류에 최적으로 제어하기 위해서 CR-PWM으로 MSC의 스위칭 신호를 만든다. CR-PWM은 토크 리플을 저감하여 진동을 줄일 수 있는 장점이 있다. 즉 그림 7과 같이 회전자 전류가 기준값보다 밑으로 내려가면 T1/D1이 ON되어 전압 (+)되어 높아지고, 반대로 높아지면 T4/D1이 OFF되고 T1/D2가 ON되어 전압이 (-) 되어 내려간다. Crowbar 회로는 그림 8과 같이 250[A]보다 부하전류가 클 경우 S1이 출력(1)되며, 과전류로 차단기가 동작되며 MSC는 정지하게 된다.



[그림 6] MSC회로



[그림 7] CR-PWM(Current-Reference PWM)

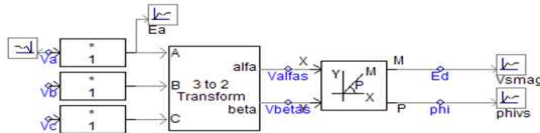


[그림 8] Crowbar 회로

3.3 GSC 모델링

(1) 위상각 계산

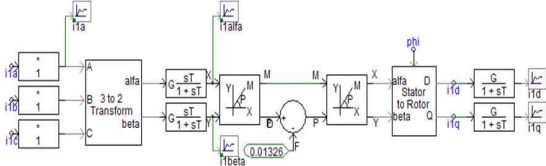
GSC의 위상각 계산은 그림 1의 (a)이며, 아래와 같이 모델링 할 수 있다. 2개의 교류전압을 극좌표변환을 통하여 기준삼각파와 직류 전압의 크기를 도출하였다. 그리고 2상의 교류전압을 극좌표변환을 통하여 기준삼각파와 직류 전압의 크기를 구한다.



[그림 9] 위상각 계산

(2) 직류단 전류제어

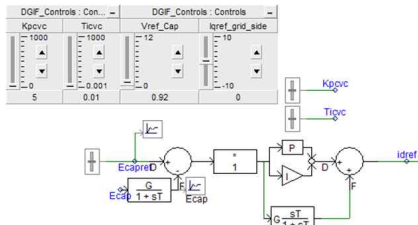
그림 1의 (b)이며, MSC의 전류 제어기와 동일한 구조를 가진다.



[그림 10] 직류단 전류 제어

(3) 직류단 전압제어

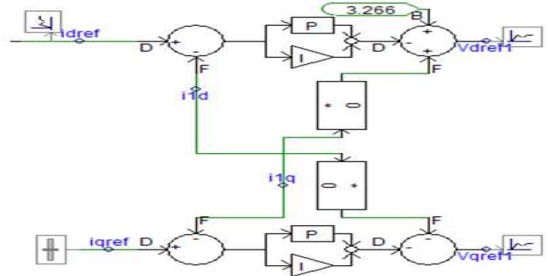
직류단 전압은 그림 1의 (c)이며, 10[KV]로 유지하기 위해 아래의 그림과 같이 모델링하였다. 직류단 유지전압과 현재 직류단전압 차이(전압오차)를 직류단 d축 전류와 일치시킨다. 즉 전류 변동 없이 전압을 항상 일정하게 조정 가능하도록 하기 위해서 전압오차를 PI제어로 보상 후 기준전류에 공급한다.



[그림 11] 직류단 전압 제어

(4) 유·무효전력 제어

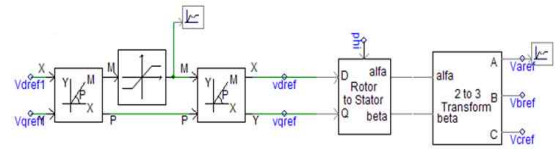
그림 12는 Decoupled id-iq controller이다. 그림 1의 (d)이며, id와 iq를 개별적으로 조절 할 수 있다. iq를 0으로 조절함으로써 무효전력을 항상 0[VAR]로 유지 할 수 있다. 한편 id를 조절하여 원하는 유효전력을 발생시킬 수 있다. 그리고 Vdref1은 커패시터 전압오차에 의해서 조절되며 Vqref1은 고정자 무효전력 오차에 의해 조절된다. Vdref1과 Vqref1은 스위치들의 투입(동작)을 위한 고정자 기준전압을 발생하는데 사용된다.



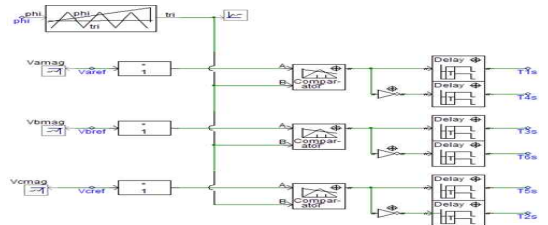
[그림 12] 유·무효전력 제어(Decoupled id-iq controller)

(5) GSC 회로

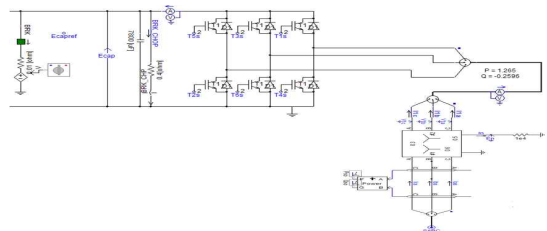
GSC 회로는 2부분으로 나눌 수 있다. 첫 번째는 그림 13과 같이 동기좌표의 직류를 PWM의 스위칭 신호를 만들기 위해 120도의 위상차이가 발생하는 3상 교류전압으로 변환한다. 둘째는 그림 14와 같이 3상 교류전압과 기준삼각파를 비교하여 Sinusoidal PWM 스위칭 신호를 만든다. 이 스위칭 신호는 그림 15의 IGBT의 동작 신호이며, 결과적으로 120도 위상차이가 발생하는 3상 교류 정현파가 발생된다.



[그림 13] 직류->3상 교류변환



[그림 14] Sinusoidal PWM



[그림 15] GSC회로

4. 시뮬레이션 및 분석

시뮬레이션 모델을 표 1과 같이 상정하여 풍속에 따른 출력의 변동을 분석하였다.

[표 1] 시뮬레이션 모델 및 조건

정격 용량	1[MW]
GSC 전압	0.350[kV]
모드	0 ~ 0.5[s] -> Speed 0.5 ~ 8[s] -> Torque
정격 풍속	0 ~ 3[s] -> 5[m/s] 3 ~ 8[s] -> 9[m/s]
로터 속도	0 ~ 3[s] -> 0.07[pu] 3 ~ 8[s] -> 0.41[pu]

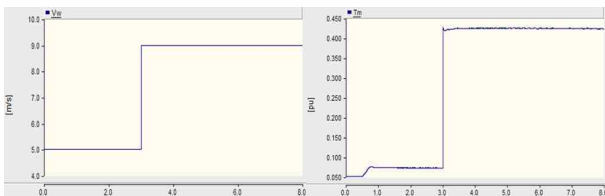
5. 결론

본 논문에서는 PSCAD/EMTDC를 이용하여 DFIG를 모델링하였으며, Simulation을 통하여 모델링의 유효성을 확인하였다.

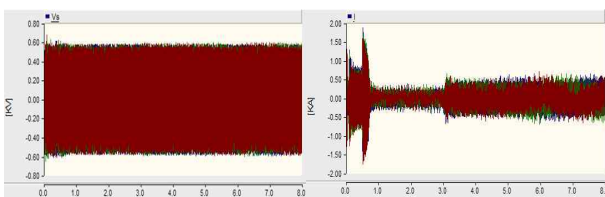
참고문헌

- [1] 정병창, “이중여자 유도형 풍력발전 시스템의 돌입 전류와 토크 리플 저감을 위한 발전기 제어 알고리즘”, 전북대학교, 박사학위논문, 2006. 2

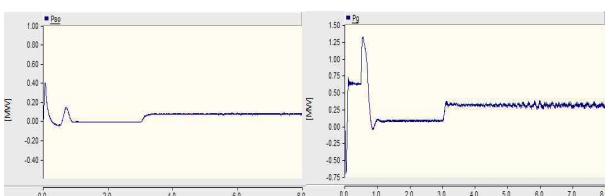
DFIG 유도기는 초기 계통에 연결될 때 풍력발전기의 회전자 속도에 따라 배전계통에 공급되는 전력량이 변할 수 있다. 이는 풍속에 대해 출력이 상당히 달라지게 되어 정출력 동작에 큰 영향을 줄 수 있으므로 풍력 발전기의 계통 연계시 고정자의 회전자속도와 같은 동기속도로 제어를 해준 상태에서 전력 계통으로 연결되는 것이 일반적이다. 그러므로 시뮬레이션에서는 0.5초의 시간을 두고 계통에 투입하도록 하였다. 그림 17과 같이 9[m/s]일 때 토크는 0.425[p.u]로 증가되었으며 그림 18에서 전압은 풍속에 상관없이 일정하지만 전류는 풍속에 비례하여 증가되었다. 최대 전류실효치가 230[A]까지 증가되었으며, 그림 19에서 계통측 유효전력 역시 400[kw]까지 증가되었음을 알 수 있다.



[그림 16] 풍속(좌) 및 로터 속도(우)



[그림 17] DFIG A,B,C상 전압(좌) 및 전류(우)



[그림 18] 고정자측 유효전력(좌) 및 계통측 유효전력(우)